

谷胱甘肽包被的 CdSe/CdS 量子点的直接水相制备及其对人血淋巴细胞的标记成像

董 微^{1, 2}, 葛 欣², 王宣怡², 徐淑坤^{1*}

1. 东北大学化学系, 辽宁 沈阳 110004

2. 沈阳医学院化学系, 辽宁 沈阳 110034

摘要 首次用谷胱甘肽(GSH)作为稳定剂, 在水溶液中制备了稳定地发射绿色荧光和橙色荧光的两种 CdSe/CdS 核/壳结构的纳米量子点。用紫外-可见分光光度和荧光光谱方法研究了 CdSe/CdS 量子点的发光特性。透射电镜(TEM)结果表明 CdSe/CdS 量子点近似球形, 在水中分散性良好, 比 CdSe 量子点具有更优异的发光特性, 发射光谱和吸收光谱都有红移现象。将 CdSe/CdS 量子点与鼠抗人 CD3 抗体连接, 制备了水溶性 CdSe/CdS-CD3 复合物探针, 对人血淋巴细胞进行标记和成像。结果表明用该探针对人血淋巴细胞成像清晰, 其荧光在 30 min 的连续蓝光激发下无明显衰退, 而 FITC 荧光在 20 min 内基本完全猝灭。

关键词 谷胱甘肽; CdSe/CdS 量子点; 免疫荧光标记; 人血淋巴细胞

中图分类号: O644.1 **文献标识码:** A **DOI:** 10.3964/j.issn.1000-0593(2010)01-0118-05

引言

半导体量子点(Quantinum dots, QDs), 是指半径小于或接近于激子玻尔半径的半导体纳米晶粒。由于量子点的吸收光谱宽且连续, 发射光谱窄而对称, 通过调节组成和大小可以使其发射出不同颜色的光, 并且具有较高的荧光强度和光稳定性, 在生物医学等方面的应用日益受到关注^[1-3]。与有机溶剂法相比, 水相合成法具有成本低、操作简单、毒性小和生物兼容性好等优点^[4, 5]。但是在水体系中, 水化作用使所合成量子点的荧光量子产率降低(3%~10%)。采用无机包覆层对量子点表面进行修饰, 可以有效地限制对核的激发, 消除非辐射驰豫途径并防止光化学褪色, 从而提高核层的荧光量子产率^[6]。近年来已经研究的核/壳结构体系, 如 CdSe/ZnS, CdSe/CdS, CdS/ZnS 等均证实了选择合适的修饰壳层能明显提高量子点的发光效率^[7, 8]。

用荧光染料分子对细胞进行标记是一种经典的细胞生物学研究方法, 而传统的荧光染料有着不可逾越的缺陷: 其激发光谱窄, 荧光染料发射光谱的半峰宽(full width at half maximum, FWHM)很宽, 有时还有很长的拖尾, 造成谱峰之间的重叠, 限制了能同时被应用的荧光探针数目, 有机染料易光漂白和光解, 光解产物对生物分子往往有杀伤作用。如果能够解决量子点与生物分子偶联的问题, 就可以用量子

点来代替很多荧光染料分子, 在细胞器定位、信号传导、原位杂交、胞内组分的运动和迁移、细胞免疫标记和成像等研究中做出贡献^[9-12]。Wu 等^[13]用量子点标记细胞与有机染料 Alexa 488 标记比较, 量子点发射的荧光较强且不易被激发光猝灭。Wang 等^[14]用最大发射波长为 605 nm 的量子点来检测各类型样本卵巢癌细胞中癌抗原 125(CA125)的表达, 取得了较好的效果。

本研究用谷胱甘肽(GSH)作为稳定剂, 首次在水溶液中合成了稳定的 CdSe/CdS 核/壳结构的纳米量子点。用紫外-可见分光光度计和荧光光谱仪对其进行了表征。同时, 将 2 种不同发射波长的 CdSe/CdS 量子点和鼠抗人 CD3 抗体连接, 制备水溶性 CdSe/CdS-CD3 复合物探针, 对人血淋巴细胞标记成像。实验结果表明, CdSe/CdS 量子点与传统的有机染料异硫氰酸荧光素(FITC)相比, 具有更高的荧光强度和光稳定性。

1 实验部分

1.1 仪器与试剂

LS-55 荧光光度计(Perkin Elmer, USA), UV-2100 双光束紫外-可见分光光度计(北京瑞利公司), Philips EM420 透射电子显微镜(TEM, Holland, 工作电压 100 kV), DF-101S 集热式恒温加热磁力搅拌器(巩义市英峪予华仪器厂), pH

收稿日期: 2009-01-29, 修订日期: 2009-05-02

基金项目: 国家自然科学基金项目(20675011), 辽宁省教育厅基金项目(05L441)和辽宁省自然科学基金项目(20072063)资助

作者简介: 董 微, 女, 1973 年生, 沈阳医学院化学系副教授 * 通讯联系人 e-mail: xushukun46@1261.com

酸度计 PB-21 型(北京赛多利斯仪器系统有限公司);恒温水浴振荡器(江苏,今坛),电热恒温培养箱(DHP-9082 上海一恒科学仪器有限公司),荧光显微镜(DMIL, Leica, 德国)。硒粉(Se 99.999%, 国药化学试剂公司),氯化镉(CdCl₂ · 5H₂O)(国药化学试剂公司),硼氢化钠(NaBH₄, 96% 国药集团化学试剂有限公司),硫化钠(Na₂S · 9H₂O 98%, 上海化工科技发展有限公司),还原型谷胱甘肽(GSH)(国药集团化学试剂有限公司),鼠抗人 CD3 抗体和 FITC 标记的鼠抗人 CD3 抗体(北京博奥森生物技术有限公司),NHS (N-Hydroxysuccinimide) 和 EDC(N-ethyl-N'-[3-(dimethylamino)propyl]carbodiimide hydrochloride (Fluka 公司)。所用试剂为分析纯, 水为三次蒸馏水。

1.2 谷胱甘肽包被的 CdSe/CdS 纳米量子点的制备

(1) CdSe 量子点的制备

将 54.8 mg 氯化镉和 184.3 mg 谷胱甘肽溶于 25 mL 蒸馏水中, 用 1 mol · L⁻¹ 的 NaOH 溶液调节混合液的 pH 值 9 ~ 10, 在剧烈搅拌下, 通入氮气脱氧 20 min, 然后迅速加入 1 mL 新制备的浓度为 0.7 mol · L⁻¹ 的硒氢化钠溶液^[15], 再将溶液缓慢加热至 95 °C, 使其回流 2 h, 得到黄色的 CdSe 量子点溶液。

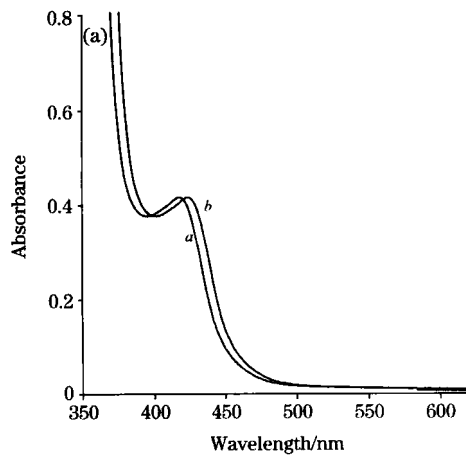
(2) CdSe/CdS 量子点的制备

取上述制备的 CdSe 量子点溶液 10 mL 通入氮气 10 min 后, 在快速搅拌下慢慢交替滴加 2.4 mmol · mL⁻¹ CdCl₂ 和 GSH 混合液和 4 mmol · mL⁻¹ Na₂S 溶液(最终 CdSe 与 CdS 物质的量的比为 4 : 1), 将溶液温度控制在 60 ~ 70 °C 左右, 回流 2 h, 得到黄色的 CdSe/CdS 量子点溶液, 在 350 nm 激发下发射绿色荧光。将第一步中加入的硒氢化钠溶液浓度增加为 2.1 mol · L⁻¹, 按照同样的方法得到橙色的量子点溶液, 在 350 nm 激发下发射橙色荧光。

1.3 CdSe/CdS-CD3 复合探针的制备

将上述制备的水溶性 CdSe/CdS 量子点, 用含有 EDC (50 mmol)、NHS(5 mmol) 的磷酸盐缓冲液 0.5 mL (PBS, 0.01 mol · L⁻¹, pH 7.4) 溶解, 再加入 40 μg 鼠抗人 CD3 抗体, 37 °C 摆床反应 2 h。

1.4 人血淋巴细胞荧光片的制备及染色



(1) 制备细胞涂片

取静脉血 1 ~ 2 mL, 用人血淋巴细胞分离液分离静脉血中的淋巴细胞, 离心。取出淋巴细胞, 用 0.01 mol · L⁻¹ PBS 洗 2 次, 离心。弃上清液。取 1 μL 该细胞液涂敷荧光片(12 孔), 自然干燥后, 放入冷丙酮中固定 10 min(丙酮先放入 4 °C 冰箱中)取出, 干燥后放入 -80 °C 冰箱中待用。

(2) 染片

将制备的细胞涂片从冰箱中取出, 快速吹干(最好放在干燥罐中), 每孔加入封闭液 20 μL, 将其放入湿盒中, 再放入 37 °C 培养箱中孵育 30 min。取出细胞涂片, 先用 0.01 mol · L⁻¹ PBS 冲掉封闭液, 再将细胞涂片放入冷 PBS 液体中浸泡 5 min。取出细胞涂片, 用细条滤纸将孔周围液体吸干, 每孔加入 20 μL 鼠抗人 CD3 抗体或 FITC 标记的鼠抗人 CD3 抗体后, 将其放入 37 °C 培养箱中孵育 2 h。取出细胞涂片, 分别用 PBS 冲洗 2 次, 再次将细胞涂片放入冷 PBS 液体中浸泡 5 min, 取出用封片剂封片后, 荧光显微镜下观察。

2 结果与讨论

2.1 CdSe/CdS 纳米量子点的光学特性

以合成的绿色量子点为代表产物进行了光学和结构表征。TEM 结果表明 CdSe 量子点和 CdSe/CdS 量子点都近似呈球形, 颗粒分散性较好, 同时 CdSe/CdS 粒子的尺寸略大于单个的 CdSe 量子点, 表明在 CdSe 量子点的表面上包覆上了一层 CdS 壳, 所形成的核/壳结构的量子点的尺寸大约为 5 nm。图 1(a)所示核/壳结构的 CdSe/CdS 与 CdSe 量子点的吸收光谱表明 CdSe 量子点的表面包覆一定尺寸的 CdS 后, 其吸收峰的位置从 395 nm 变化到 403 nm, 红移了 8 nm, 这是由于 CdS 壳层影响到了 CdSe 内核的电子态, 使得 CdSe 核内的电子易于跃迁到 CdS 壳层中, 空穴由于有效质量大而难于移动, 从而留在 CdSe 内。这样造成电子和空穴相对分离, 使所形成激子的受限程度有所减小, 表现为 CdSe/CdS 量子点的吸收峰红移^[16]。图 1(b)中的 a 和 b 分别为 350 nm 激发下 CdSe 量子点和核/壳结构的 CdSe/CdS 量子点的荧光光谱。由图可见, CdSe 量子点的最大荧光发射波长为 529 nm,

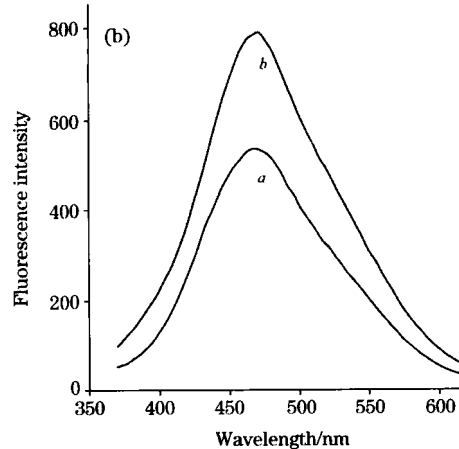


Fig. 1 Absorption (a) and fluorescence spectra (b) of prepared CdSe a and CdSe/CdS b QDs

而同样条件下合成的 CdSe/CdS 量子点的发射波长为 535 nm, 发射峰位发生红移, 并且强度增加。这是由于在 CdSe 量子点的表面包裹上 CdS 后, 这种壳层作用的存在有效地限制了对核的激发, 消除了非辐射驰豫途径并防止光化学褪色, 使核层 CdSe 的荧光量子产率有所提高, 发射峰位的红移是由于部分激子渗入到壳层中造成的^[6]。同样, 所制备的发射橙色荧光的 CdSe/CdS 量子点与 CdSe 核相比, 也表现了类似的荧光强度提高和波长红移[见图 4(b)中的插图]。

2.2 CdSe/CdS 纳米量子点合成条件的优化

实验中以发射绿色荧光的量子点的合成为研究对象, 进行了合成反应过程中条件的优化。在成核反应条件一定的条件下, 对壳层包被时间、反应温度和 CdS 用量对形成的核/壳结构纳米粒子的影响进行了讨论。

2.2.1 包被反应时间和温度对 CdSe/CdS 量子点的影响

图 2(a)是不同包被时间内所形成的 CdSe/CdS 量子点荧光强度变化曲线。表明随包被反应时间的增长, 发射峰位置略有红移, 荧光强度增强。这可能是由于在一定温度下, 随

着反应时间增长, 晶粒长大与表面修饰同时进行, 只是颗粒长大程度不明显, 表现为发射峰位置红移不明显, 而表面修饰作用增强明显, 于是荧光强度增强。但当反应时间超过 2 h 后, 荧光强度又逐渐降低, 这可能是由于反应时间过长, 能量明显增强, 分子运动剧烈, 表面缺陷增多, 荧光强度又有所降低。

图 2(b)是在不同温度下滴加 CdCl₂-GSH 混合液和 Na₂S 溶液对制备的 CdSe/CdS 量子点荧光强度的影响。从图中可以看出, 起初随着加入时温度的升高, CdSe/CdS 量子点荧光强度也有所增加, 当温度达到 60 ℃时, 所制备的量子点的荧光强度最强。这可能是由于在此温度下 CdS 量子点能够很好地包被 CdSe 粒子, 使 CdSe 粒子表面缺陷减少, 导致荧光强度提高。但此后随着温度升高, 荧光强度反而降低, 这是由于温度继续升高使得 CdSe 颗粒长大, 同浓度下的 CdS 量子点已经不能很好地包裹 CdSe 粒子, CdSe 量子点表面缺陷露出的越来越多, 造成 CdSe/CdS 量子点荧光强度逐渐降低。

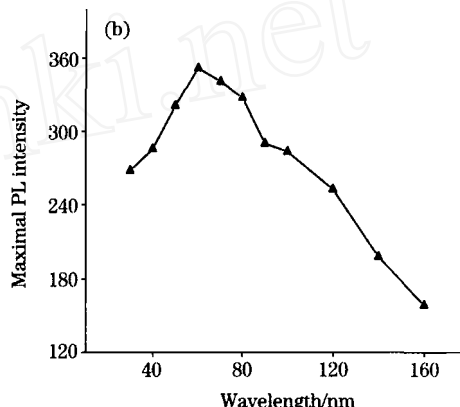
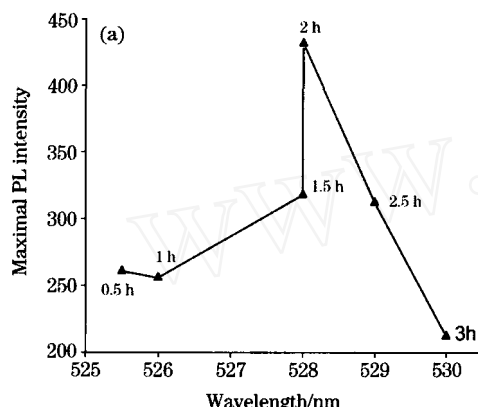


Fig. 2 Fluorescence intensity of the CdSe/CdS QDs obtained with different reaction time (a) and reaction temperature (b)

2.2.2 CdS 用量对 CdSe/CdS 纳米量子点的影响

图 3 为 CdS 与 CdSe 摆尔比 r 为 1.0, 2.0, 3.0, 4.0, 5.0 和 6.0 时的荧光光谱。从图中可以看出, 随着 CdS 加入量的增加, 荧光强度先增大后减小, 同时伴随着荧光光谱峰的峰位略有红移, 当 CdS 与 CdSe 摆尔比 r 为 4 时荧光强度达到最大。这可能是由于核壳型量子点的荧光效率主要与壳 CdS 包被核 CdSe 的均匀程度有关, 包被得越均匀, 受激电子越容易跳回到基态而发出荧光。当 CdS 的用量少时, CdS 量子点不能很好地包被 CdSe 粒子, 晶粒表面缺陷很多, 大部分受激电子不发荧光, 于是荧光强度较低。随着 CdS 用量的不断增加, 当 CdS 与 CdSe 摆尔比 r 为 4.0 时, CdS 量子点能够均匀地包被 CdSe 粒子, 晶粒表面的缺陷减少, 荧光强度最强。而当 CdS 与 CdSe 摆尔比 r 超过 4 时, 由于晶粒 CdSe/CdS 继续长大, 表面形成了新的缺陷, 于是荧光强度减弱。

2.3 直接标记人血淋巴细胞

2.3.1 CdSe/CdS 纳米量子点与 CD3 抗体的连接

图 4 为 CdSe/CdS 量子点和 CdSe/CdS-CD3 复合探针的荧光发射光谱。由图 4(a)可见, CdSe/CdS 量子点的发射峰

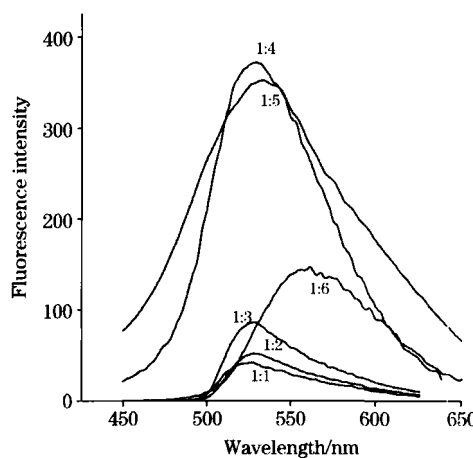


Fig. 3 Fluorescence spectra of CdSe/CdS solution with different CdS/CdSe molar ratio

在 525 nm 处, CdSe/CdS-CD3 复合探针的发射峰位于 529.5 nm, 蓝移了 4.5 nm, 同时荧光强度增强。引起发射峰位变化的原因可能是在活化剂 EDC 和 NHS 的作用下, CdSe/CdS

量子点表面的羧基与抗体的氨基共价偶联，使 CdSe/CdS 量子点的表面电荷数减少，从而降低了 CdSe/CdS 纳米粒子间的偶极与偶极的相互作用，导致 Stokes 位移减小，其荧光发射位发生了蓝移^[17]。由于 CD3 抗体包被在量子点的表面，减少了量子点的表面缺陷，使得量子点的荧光产率增加。

将通过改变硒化钠合成时硒与硼氢化钠的用量制备的发射橙色荧光的 CdSe/CdS 量子点与鼠抗人 CD3 抗体的连接，制备发射成色荧光的 CdSe/CdS-CD3 复合探针。由图 4 (b) 可见，CdSe/CdS 量子点的发射峰在 583 nm 插，CdSe/CdS-CD3 复合探针的发射峰位于 581 nm，蓝移了 2 nm，同时荧光强度增强。

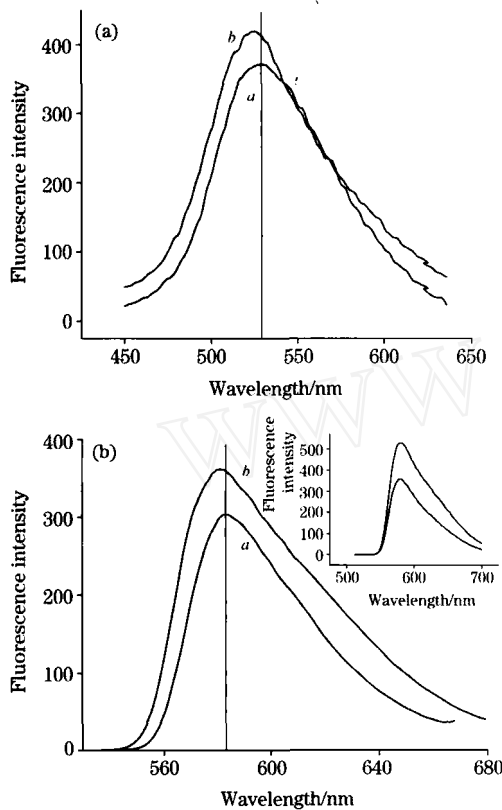


Fig. 4 (a) fluorescence spectra of CdSe/CdS λ 525 a and CdSe/CdS linked mouse anti-human CD3 b; (b) fluorescence spectra of CdSe/CdS λ 583 a and CdSe/CdS linked mouse anti-human CD3 b. The insert of (b) is the fluorescence spectra of CdSe and CdSe/CdS λ 583

2.3.2 人血淋巴细胞的标记

图 5(a)是淋巴细胞被蓝光激发的显微照片。从中可以看出，人血淋巴细胞本身并不发光。(b)，(c) 和 (d) 分别是 FITC 和 CdSe/CdS-CD3 复合探针(发橙色光)和 CdSe/CdS-CD3 复合探针(发绿色光)标记的人血淋巴细胞在蓝光激发下的照片，可以清楚观察到人血淋巴细胞被 CdSe/CdS-CD3 复合探针特异性标记，并表现出较 FITC 绿色更为明亮的非常清晰的绿色和橙色荧光图像。

2.3.3 CdSe/CdS-CD3 复合探针的光稳定性

用蓝光激发块分别激发用 CdSe/CdS-CD3 复合探针和 FITC-CD3 标记的人血淋巴细胞，各取 1, 5, 10, 20, 30 min 的荧光图像作比较，如图 6 所示。CdSe/CdS-CD3 复合探针标记的细胞在受激发 30 min 后，荧光仍无明显衰退，而 FITC 绿色荧光从激发开始就出现明显衰退的趋势，在 30 min 内基本猝灭。实验结果表明，与传统染料相比较，量子点探针具有稳定性高，荧光寿命长，特异性好等特点，更具备在长时间示踪性生物荧光标记领域应用的优势。

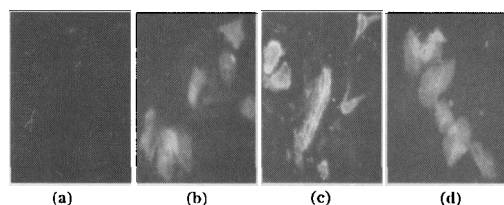


Fig. 5 Lymphocyte in dark-field illumination (a), lymphocyte incubated with FITC for 2 hours (b), lymphocyte incubated with CdSe/CdS-CD3 (orange) for 2 hours (c) and lymphocyte incubated with CdSe/CdS-CD3 (green) (d) for 2 hours in dark-field illumination with blue excitation

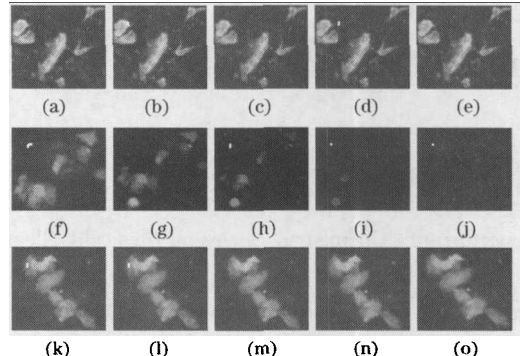


Fig. 6 Comparison of photo stabilities of CdSe/CdS QDs (a)~(e), (k)~(o) and FITC (f)~(j) labeled lymphocyte. The images were taken at irradiation times of 0 (a, f, k), 5 (b, g, o), 10 (c, h, m) 20 min (d, i, n) and 30 min (e, j, o) respectively, under blue excitation

3 结论

本文提出了一种简单可行的制备水溶性核壳纳米量子点的实验方法。用谷胱甘肽作为稳定剂，首次成功地合成了高质量的 CdSe/CdS 核壳纳米粒子，并将其作为荧光标记物对人血淋巴细胞进行标记。所制备的 CdSe/CdS 核壳纳米粒子荧光强度较相同条件下制备的 CdSe 量子点有所提高，其吸收峰和发射峰略有红移，体现了量子点的尺寸效应。免疫荧光标记实验结果表明，与传统染料相比较，量子点具有荧光稳定性高，对光漂白的抵抗能力强，荧光寿命长等特点，使其在长时间生物荧光标记领域中体现更强的优势和具有发展前景。

参考文献

- [1] Michalet X, Pinaud F, Lacoste T D, et al. Single Molecules, 2001, 2(4): 261.
- [2] Bruchez M, Moronne M, Gin P, et al. Science, 1998, 281: 2013.
- [3] YANG Dong-zhi, XU Shu-kun, CHEN Qi-fan(杨冬芝, 徐淑坤, 陈启凡). Spectroscopy and Spectral Analysis(光谱学与光谱分析), 2007, 27(9): 1807.
- [4] Gaponik N, Talapin D V, Rogach A L, et al. Phys. Chem. B, 2002, 106: 7177.
- [5] Li H, Rothberg L. PNAS, 2004, 101: 14036.
- [6] Spahn L, Haase M, Weller H, et al. Journal of Am. Chem. Soc., 1987, 109: 5649.
- [7] TANG Ai-wei, TENG Feng, GAO Yin-jie, et al(唐爱伟, 滕 枫, 高银洁, 等). Journal of Inorganic Materials(无机材料学报), 2006, 21(2): 323.
- [8] Yang D Z, Chen Q F, Xu S K. J. Luminescence, 2007; 126: 853.
- [9] Jaiswal J K, Mattoussi H, Mauro J M, et al. Nature Biotechnol., 2003, 21: 47.
- [10] Gao X, Nie S. Trends Biotechnol., 2003, 21: 371.
- [11] Yang D Z, Chen Q F, Wang W X, et al. Luminescence, 2008, 23(3): 169.
- [12] Chan W C W, Nie S M, Science, 1998, 281: 2016.
- [13] Wu X Y, Liu H J, Liu J Q, et al. Nature Biotechnol., 2003, 21: 41.
- [14] Wang H Z, Wang H Y, Liang R Q. Acta Bichimica et Biophysica Sinica, 2004, 36(10): 681.
- [15] Rajh T, Micc O I, Nozik AJ. J. Phy. Chem., 1993, 97: 11999.
- [16] Zhu C Q, Zhao D H, Chen J L, et al. Anal. Bioanal. Chem., 2004, 378: 811.

Preparation of GSH Capped CdSe/CdS Core-Shell QDs and Labeling of Human T-Lymphocyte

DONG Wei^{1,2}, GE Xin², WANG Xuan-yi², XU Shu-kun^{1*}

1. Department of Chemistry, Northeastern University, Shenyang 110004, China

2. Department of Chemistry, Shenyang Medical College, Shenyang 110034, China

Abstract Two kinds of L-glutathione capped highly fluorescent CdSe/CdS core-shell quantum dots (QDs) emitting green and orange fluorescence at 350 nm excitation were firstly prepared by an aqueous approach and used as fluorescent labels, to link mouse anti-human CD3 which was expressed on human T-lymphocyte. UV-Vis absorption and fluorescence emission spectra of the as-prepared CdSe/CdS core-shell QDs were studied. Compared with the CdSe QDs, a remarkable enhancement in the emission intensity and a red shift of emission wavelength of CdSe/CdS core-shell QDs was observed for the two kinds of QDs emitting green and orange fluorescence. The TEM results showed that the as prepared CdSe and CdSe/CdS QDs dispersed well in aqueous solution, and their shape was approximately spherical, and the CdSe/CdS QDs nano particles emitting green fluorescence are of about 5 nm in diameter. The two kinds of CdSe/CdS QDs were linked with mouse anti-human CD₃ to image human T-lymphocyte. The fluorescent microscopical images of human T-lymphocyte labeled with CdSe/CdS QDs-CD3 and FITC-CD3 demonstrated that the fluorescent CdSe/CdS QDs exhibited much better photo stability and brighter fluorescence than FITC, showing a good application potential in the immuno-labeling of cells.

Keywords Aqueous CdSe/CdS core-shell QDs; L-glutathione; Immunolabeling; Human T-lymphocyte

(Received Jan. 29, 2009; accepted May 2, 2009)

* Corresponding author